

# Recherche Opérationnelle :

## TP 5 et 6

Sandra U. Ngueveu (ngueveu@laas.fr), Arthur Claviere, Aloïs Duguet,  
Alexandre Dupaquais, Quentin Fabry

2020

### Table des matières

<b>1</b>	<b>Prise en main : ordonnancement avec contraintes de précédence</b>	<b>2</b>
1.1	Modélisation classique par programmation linéaire (voir notebook P1) . . . . .	2
1.2	Modélisation classique par graphe potentiel-tache (à faire) . . . . .	2
<b>2</b>	<b>Job-shop : ordonnancement avec contraintes de précédence et contraintes de ressources</b>	<b>3</b>
2.1	Relaxation des contraintes de ressources (à faire) . . . . .	3
2.2	Modélisation des contraintes de ressources . . . . .	3
2.3	Résolution (à faire) . . . . .	4
<b>3</b>	<b>BONUS</b>	<b>5</b>
<b>4</b>	<b>ANNEXE : Exemples d'arborescences résultant de PSE</b>	<b>6</b>

L'objectif de ce TP est de résoudre le problème du job-shop par une *procédure de séparation et évaluation (PSE)* basée sur une *relaxation* équivalente à un calcul de plus long chemin dans un graphe particulier. Vous utiliserez vos codes de calcul de plus long chemin dans un graphe (cf TP3-4) pour résoudre ces relaxations.

Les notions de *procédures de séparation et évaluation = PSE*, *relaxations*, *relaxations linéaires*, *tests de sondabilité* ( $TA$ ,  $TO$ ,  $TR$ ) ont été définies dans le cours.

# 1 Prise en main : ordonnancement avec contraintes de précédence

Problème (P1) : Soit un ensemble de tâches  $T$ , l'objectif est de déterminer les dates d'exécution de chaque tâche de manière à minimiser la durée totale d'exécution tout en respectant les durées et les contraintes de précédence entre les tâches.

Tâche $i$	A	B	C	D	E
Durée $d_i$	2	3	1	4	1
Condition de début	/	Après fin de A	Après fin de A	Après fin de B Après fin de C	Après fin de C

TABLEAU 1 – Données utilisées dans l'exemple du notebook P1

## 1.1 Modélisation classique par programmation linéaire (voir notebook P1)

Variables de décision :

- $t_i \in \mathbb{R}^+, \forall i \in T$  : date de début de la tâche  $i$
- $t_{\text{fin}} \in \mathbb{R}^+$  : date de fin du projet

Le programme linéaire résultant fourni en FIGURE 1 est déjà implémenté dans le notebook P1.

## 1.2 Modélisation classique par graphe potentiel-tâche (à faire)

Principes :

- chaque contrainte  $t_j - t_i \geq a_{ij}$  est représentée par un arc de  $i$  à  $j$  et de valeur/longueur  $a_{ij}$ .
- le potentiel  $t_i$  correspond au début de la tâche  $i$
- une tâche fictive de début peut précéder toutes les tâches sans prédécesseur
- une tâche fictive de fin succède à toutes les tâches sans successeur

$$\begin{aligned}
 & \min t_{\text{fin}} \\
 & \text{sous contraintes (s.c)} \\
 & t_2 - t_1 \geq d_1 \\
 & t_3 - t_1 \geq d_1 \\
 & t_4 - t_2 \geq d_2 \\
 & t_4 - t_3 \geq d_3 \\
 & t_5 - t_3 \geq d_3 \\
 & t_{\text{fin}} - t_4 \geq d_4 \\
 & t_{\text{fin}} - t_5 \geq d_5 \\
 & t_i \geq 0, \forall i \in 1..5
 \end{aligned}$$

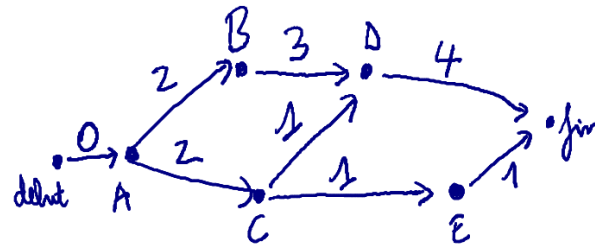


FIGURE 1 – Modèle linéaire et graphe potentiel-tâche associés aux données du TABLEAU 1

Appliquez votre algorithme de calcul de plus long chemin issu du TP3-4 sur le graphe potentiel-tâche correspondant au TABLEAU 1. Comparez la solution obtenue avec celle du programme linéaire.

## 2 Job-shop : ordonnancement avec contraintes de précédence et contraintes de ressources

Le problème du job-shop consiste à planifier un ensemble de travaux pour minimiser la durée totale d'exécution tout en respectant des contraintes de précédence (chaque travail est décomposé en opérations à réaliser dans l'ordre) et de ressources (chaque opération utilise une machine et chaque machine ne peut traiter qu'une opération à la fois).

Travaux	Opérations		
	1	2	3
1	6	7	/
2	3	5	1

(a)

Travaux	Opérations		
	1	2	3
1	M1	M3	/
2	M1	M2	M3

(b)

TABLEAU 2 – Exemple de données : (a) durées des opérations, (b) machines associées aux opérations

### 2.1 Relaxation des contraintes de ressources (à faire)

Soit une relaxation (R) qui consiste à ignorer les contraintes de ressources du job-shop. Montrer que (R) est équivalente au problème (P1). Construire et résoudre le programme linéaire et le graphe potentiel-tâche associés aux données du TABLEAU 2(a) pour (R). Montrer que la solution obtenue ne respecte pas les contraintes du TABLEAU 2(b).

### 2.2 Modélisation des contraintes de ressources

Principe : Si deux opérations  $ij$  et  $kl$  nécessitent une même ressource, alors il faut imposer que l'une se termine avant que l'autre ne commence. L'ordre n'étant pas connu à l'avance, il faut donc réussir à modéliser la contrainte  $\boxed{t_{ij} - t_{kl} \geq d_{kl} \text{ OU } t_{kl} - t_{ij} \geq d_{ij}}$  qui n'est pas linéaire.

#### 2.2.1 Méthode du bigM

L'idée est d'utiliser une variable binaire  $x_{kl\_ij}$  qui vaudra 1 si  $kl$  est exécuté avant  $ij$  et 0 sinon.

$$t_{ij} - t_{kl} \geq d_{kl} - M(1 - x_{kl\_ij}) \quad (C1)$$

$$t_{kl} - t_{ij} \geq d_{ij} - Mx_{kl\_ij} \quad (C2)$$

$$0 \leq x_{kl\_ij} \leq 1 \quad (C3)$$

$$x_{kl\_ij} \in \mathbb{N} \quad (C4)$$

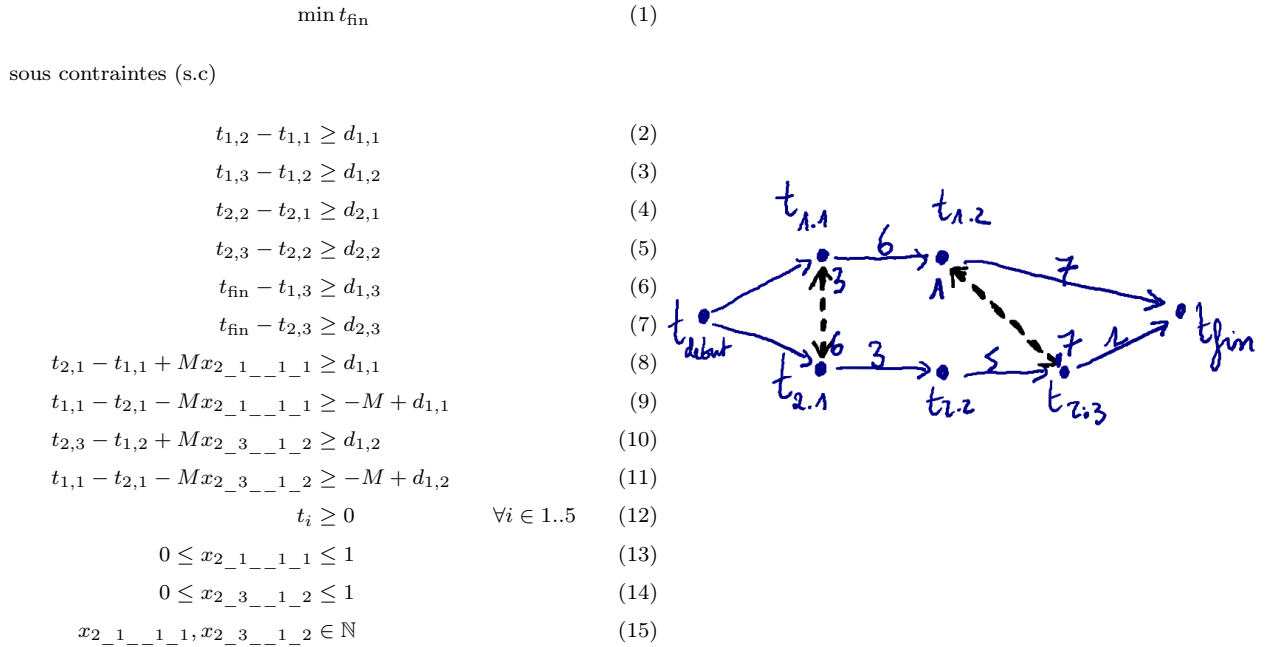
La FIGURE 2 présente le modèle mathématique correspondant aux TABLEAUX 2(a) et 2(b). Ce modèle n'est pas purement linéaire à cause des contraintes (15).

### 2.2.2 Méthode des graphes disjonctifs

L'idée est d'utiliser un graphe  $G(X, U, D)$  appelé graphe disjonctif, qui est un outil pratique de modélisation pour ressources non partageables où :

- L'ensemble des sommets est  $X$
- L'ensemble des arcs est composé de :
  - $U$  : partie conjonctive représentant les gammes opératoires d'un travail
    - $\forall (ij, ik) \in U, t_{ik} - t_{ij} \geq p_{ij}$ , représenté par un arc orienté de  $ij$  vers  $ik$
  - $D$  : partie disjonctive associée aux conflits d'utilisation d'une ressource non partageable
    - $\forall (ij, kl) \in D$ , on a soit  $t_{kl} - t_{ij} \geq p_{ij}$ , soit  $t_{ij} - t_{kl} \geq p_{kl}$ , représenté par une arête ou paire de disjonction

Le graphe disjonctif correspondant aux données des TABLEAUX 2(a) et 2(b) est fourni ci-dessous. Les arêtes en pointillés à double tête y représentent les paires de disjonction.



↓ Travail / Opération →	1	2	3
1	6 / M1	7 / M3	4 / M2
2	3 / M1	5 / M2	1 / M3

TABLEAU 3 – Autre jeu de données

### 2.3.1 PSE basée sur la relaxation linéaire du modèle avec bigM (voir notebook JS)

Principe : utiliser le solveur linéaire Clp (et non pas Cbc) pour résoudre les relaxations linéaires

Paramètres proposés

- Critère de séparation
  - une variable fractionnaire
- Tests de sondabilité
  - TA : réussi si la relaxation linéaire (RL) n'a pas de solution admissible
  - TO : réussi si la solution de la RL est pire que la meilleure solution connue
  - TR : réussi si la solution de la RL est entière
- Stratégie d'exploration : priorité à la profondeur

### 2.3.2 PSE basée sur le graphe disjonctif (à faire)

Principe : utiliser votre algorithme de calcul de plus long chemin pour résoudre les relaxations du graphe disjonctif

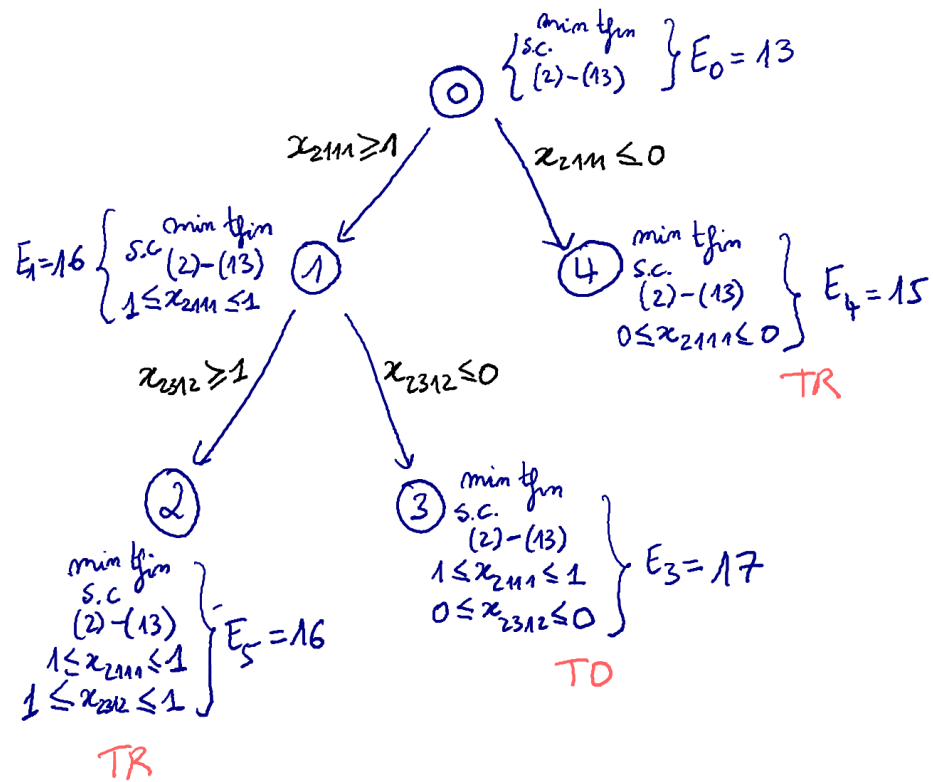
Paramètres proposés

- Principe de séparation
  - Choix d'un arc dans une paire de disjonction
- Fonction d'évaluation (borne inférieure)
  - Recherche du chemin critique dans un graphe possédant (1) tous les arcs conjonctifs et (2) les arcs disjonctifs des conflits déjà arbitrés
    - En déduire les tests TA, TO, TR résultants
- Stratégie d'exploration : priorité à la profondeur

## 3 BONUS

Tester différents critères de séparation et de stratégies d'exploration (ordre de choix des arcs disjonctifs à arbitrer) et analyser l'impact sur le temps de calcul et le nombre de noeuds créés par l'arborescence.

## 4 ANNEXE : Exemples d'arborescences résultant de PSE



Memorisation :  $[3 \ 9 \ 16; 0 \ 3 \ 8]$  ~~durée = 16~~  
 $[0 \ 6 \ 15; 6 \ 9 \ 14]$  durée = 15

FIGURE 3 – PSE basée sur la relaxation linéaire avec les données du TABLEAU 2

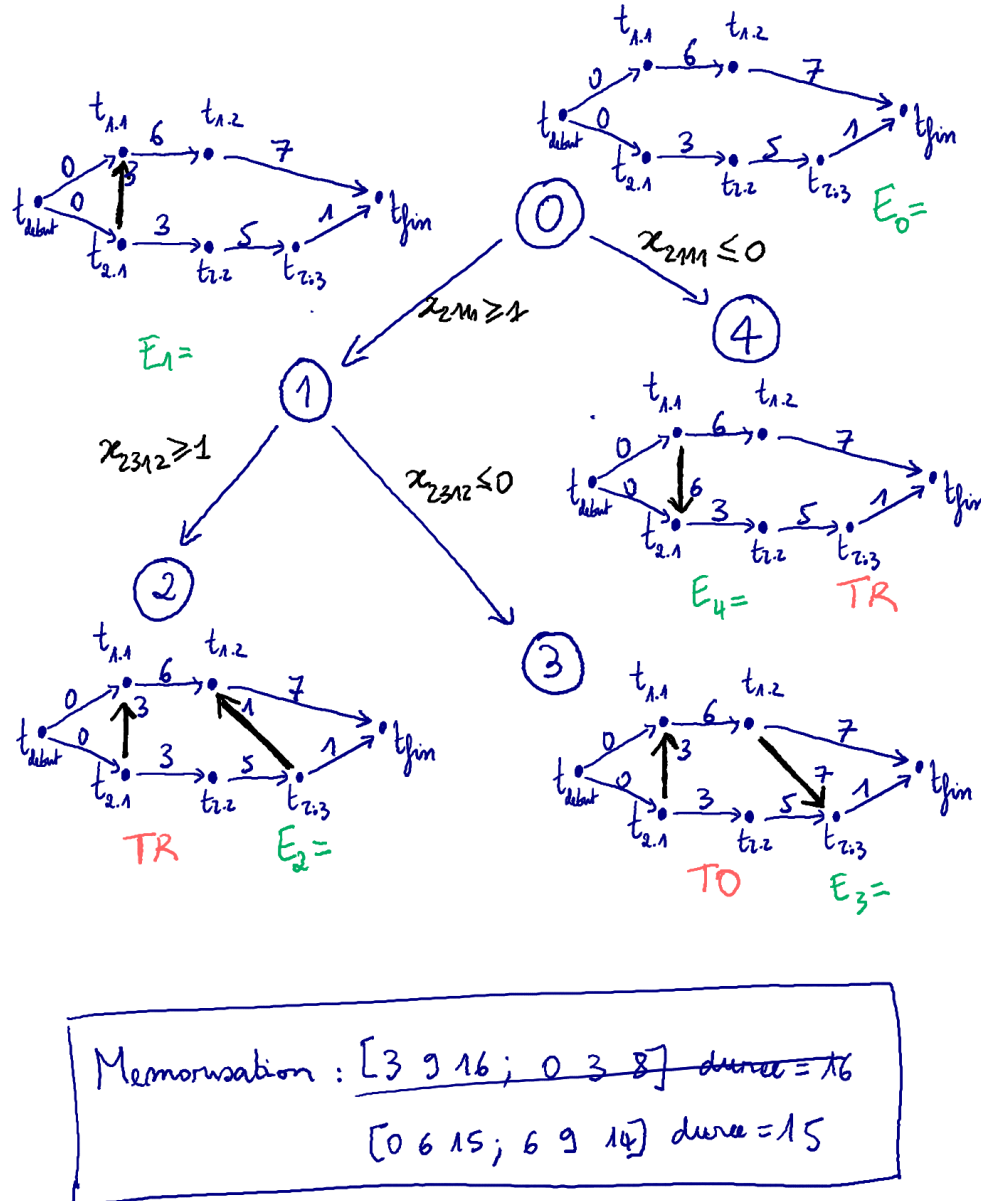


FIGURE 4 – PSE basée sur le graphe disjointif avec les données du TABLEAU 2